

ارزیابی داده‌های ماهواره GRACE در برآورد تغییرات سطح آب زیرزمینی در استان قزوین

زهره فرجی^{۱*}، عباس کاویانی^۲، افشین اشرفزاده^۳

۱. دانش‌آموخته کارشناسی ارشد آبیاری و زهکشی

۲. استادیار گروه مهندسی آب دانشگاه بین‌المللی امام خمینی (ره)

۲. استادیار گروه مهندسی آب دانشگاه گیلان

(تاریخ دریافت ۱۳۹۵/۹/۱۷؛ تاریخ تصویب ۱۳۹۵/۱۲/۲۵)

چکیده

استان قزوین در رتبه هفتم خشکسالی در کشور قرار گرفته است، بنابراین مدیریت گستردۀ منابع آبی در این استان ضروری است. بهره‌گیری از تغییرات میدان گرانشی مشاهده شده از ماهواره GRACE از روش‌های مدیریتی است. ماهواره ثقل‌سنگی GRACE مجموعه‌ای از داده‌های تغییرات ذخیره آب را در مقیاس منطقه با قدرت تفکیک مکانی ۱ درجه تولید می‌کند. این پژوهش با هدف ارزیابی داده‌های ماهواره GRACE در استان قزوین برای یافتن راه حلی جامع برای دست‌یابی آسان و سریع به اطلاعات تغییرات منابع آبی این استان انجام شد. برای اعتبارسنجی داده‌های ماهواره GRACE از داده‌های مدل سطح زمین GLDAS و داده‌های مشاهداتی چاهها در منطقه استفاده شد. نتایج نشان می‌دهد ماهواره GRACE به عنوان ماهواره‌ای ثقل‌سنگ که فقط به منظور برآورد تغییرات ذخیره آب تولید شده است، برآورد خوبی از روند تغییرات ذخیره آب و همچنین تغییرات سطح آب زیرزمینی در اختیار کاربران قرار می‌دهد. نتایج تحلیل آماری انجام شده نشان‌دهنده $MAE = 4/16$ ، $RMSE = 5/54$ و $MBE = 1/5$ در واحد سانتی‌متر در مقیاس فصلی بین داده‌های تغییرات سطح آب زیرزمینی به دست آمده از ماهواره GRACE و چاههای مشاهداتی در دشت قزوین و همچنین $MAE = 4/32$ ، $RMSE = 5/46$ و $MBE = -0/18$ سانتی‌متر در ماه بین داده‌های تغییرات ذخیره آب به دست آمده از مدل GLDAS و ماهواره GRACE است. همچنین همبستگی بین داده‌های تغییرات ذخیره آب به دست آمده از مدل GLDAS و ماهواره GRACE و تغییرات سطح آب زیرزمینی به دست آمده از ماهواره GRACE و داده‌های مشاهداتی در سطح احتمال ۹۹ درصد معنادار است. نتایج بیانگر آن است که ماهواره GRACE روند تغییرات ذخیره آب را بهتر از مدل GLDAS نشان می‌دهد.

کلیدواژگان: آب زیرزمینی، بارش، ماهواره GRACE، مدل GLDAS.

GLDAS می‌تواند اطلاعات لازم از اجزای ذخیره آب را در اختیار قرار دهد [۸].

مدل سطح زمین (GLDAS) مأموریت مشترک از مرکز گودارد^۲ ناسا و سازمان ملی اقیانوسی و جوی (NOAA) برای GLDAS پیش‌بینی محیط زیست را به‌عهده دارد. مدل Mosaic به‌طور جداگانه با استفاده از مدل‌های Noah و LSMs توزیع جهانی متغیرهای سطح زمین را برآورد می‌کند. GLDAS رطوبت خاک، رواناب و تبخیر- تعرق حاصل از مدل GLDAS تخمینی واقعی از اجزای اصلی ذخیره آب زیرزمینی برآورده شده توسط ماهواره GRACE را فراهم می‌کنند [۲]. در واقع محتوای آب زمین^۳ یا به‌بیانی ذخیره آب به‌دست‌آمده از مدل GLDAS مجموع رطوبت چهار لایه از خاک، مقدار تجمعی برف و مجموع آب ذخیره شده در گیاه است. ذخیره آب در بخشی از زمین که قابلیت ذخیره آن را دارد، نه تنها برای چرخه هیدرولوژی ضروری است، بلکه برای تأمین آب شیرین، تولید محصولات کشاورزی و ثبات اجتماعی بسیار اهمیت دارد. برآورده دقیق ذخیره آب مشکل است، ولی درک کامل از کل اجزای ذخیره آب حتی از حل یک چالش هیدرولوژیکی نیز دشوارتر است.

رامیلین و همکارانش (۲۰۰۸) به ارزیابی داده‌های ماهواره GRACE طی سال‌های ۲۰۰۲ تا ۲۰۰۶ در حوضه رودخانه آمازون پرداختند. بدین‌منظور از داده‌های دو ایستگاه در حوضه مد نظر استفاده کرده و پس از اصلاح داده‌های ماهواره GRACE، روند تغییرات سطح آب زیرزمینی را ارزیابی کرده‌اند. نتایج پژوهش آنها نشان‌دهنده بیش‌برآورده معادل ± 400 میلی‌متر در داده‌های ماهواره GRACE نسبت به داده‌های ایستگاهی است. همچنین نتایج بیانگر آن است که چگونگی اصلاح داده‌های GRACE در نتایج نهایی بسیار تأثیرگذار است [۶]. لانگورن و همکارانش (۲۰۱۰) داده‌های مرکز پردازش GRGS و CSR ماهواره GRACE را در حوضه‌ای به مساحت ۲۰۰ هزار کیلومترمربع طی دوره ۲۰۰۳ تا ۲۰۰۷ ارزیابی کردند. در این پژوهش برای اصلاح داده‌های ماهواره GRACE از فیلتر گاوی ۳۰۰ کیلومتر استفاده شده است. پس از مقایسه روند تغییرات ذخیره آب به‌دست‌آمده از مدل GLDAS، ماهواره GRACE و داده‌های چاهه‌ای GRACE پیزومتری، نتایج بیان‌کننده آن است که ماهواره

مقدمه

مناطق پر جمعیت و صنعتی در سراسر جهان با کاهش ذخایر آب‌های زیرزمینی به عنوان بحرانی هیدرولوژیکی رو به رشد و تأثیرگذار بر بیشتر بخش‌های تولیدی و اقتصادی مواجه‌اند. کاهش ذخایر آب‌های زیرزمینی به خصوص در مناطق خشک و نیمه‌خشک اهمیت دارد که مقدار بارش در آنها بسیار کمتر از تبخیر- تعرق است [۱]. مدیریت و برنامه‌ریزی صحیح منابع آب‌های زیرزمینی در یک استان به میزان آگاهی از روند تغییرات مکانی و زمانی این منابع بارزش وابسته است. بنابراین، ضرورت دست‌یابی به شبکه‌ای از داده‌های منابع آب زیرزمینی در مناطق بزرگ مقیاس انکارناپذیر است. از آنجا که نصب و نگهداری تجهیزات مشاهداتی بسیار پرهزینه است، بنابراین استفاده از روش‌های سنجش از دور به عنوان جایگزینی مناسب برای تکنیک‌های سنتی و پرهزینه سابق رو به گسترش است [۲ و ۳]. تحقیقات اخیر در علوم فضایی، شامل ماهواره ثقل‌سنج و مدل‌های وابسته، اطلاعات بسیار سودمندی از تغییرات ذخایر آب‌های زیرزمینی در اختیار محققان قرار می‌دهد [۴]. ماهواره‌های ثقل‌سنج و GRACE مدل سطح زمین GLDAS هر دو تکنیک‌هایی فضایی هستند که با استفاده از ترکیبی از داده‌های ماهواره‌ای، مدل‌های سطح زمین (LSM)، داده‌های مشاهداتی و همگون سازی آماری، پارامترهای هیدرولوژیکی مختلفی را تولید می‌کنند [۲]. استفاده از محصولات به‌دست‌آمده از ماهواره GRACE و مدل GLDAS برای شبیه‌سازی روندهای هیدرولوژیکی، توانایی بشر را در درک و مدیریت متغیرهای آن افزایش می‌دهد [۵].

جفت ماهواره GRACE محصول مشترک سازمان ناسای آمریکا و مرکز هوافضای آلمان است که قابلیت برآورده تغییرات ستون ذخیره آب را دارد [۶]. این ماهواره قادر است با اندازه‌گیری تغییرات میدان ثقل کره زمین براساس عرض جغرافیایی مرجع مقدار تغییرات ذخیره آب را برآورد کند. به رغم اینکه ماهواره GRACE توانمند است، به‌دلیل ناتوانی در توان تفکیک عمودی، امكان تفکیک اجزای ذخیره آب^۱ از جمله آب سطحی، رطوبت خاک و آب زیرزمینی را ندارد [۷]. بنابراین، کاربرد داده‌های مدل‌های مبتنی بر اندازه‌گیری‌های زمینی نظیر مدل

2. Goddard

3. Land Water Content

1. Terrestrial Water Storage(TWS)

دریاچه است. همچنین تغییرات حجم آب دریاچه نسبت به تغییرات GRACE تأخیری دوماhe دارد [۱۵]. شریفی و همکارانش (۲۰۱۴) داده‌های ماهواره GRACE و مدل GLDAS را با هدف پایش خشکسالی در ایران طی سال‌های ۲۰۰۷ تا ۲۰۱۰ ارزیابی کردند. در این تحقیق بهمنظور بررسی دقیق داده‌های GRACE و GLDAS از داده‌های بارش ماهانه برای دوره یادشده استفاده شد. نتایج نشان می‌دهد با توجه به روند کاهشی مقدار بارش، داده‌های مدل GLDAS قادر نیستند این روند را در مقدار ذخیره آب در زمین به خوبی نشان دهند در صورتی که داده‌های ماهواره GRACE به خوبی این روند کاهشی در ذخیره آب را نشان می‌دهند [۱۶]. اشرفزاده و همکارانش (۲۰۱۵) منابع آب زیرزمینی جنوب ایران را برای سال‌های ۲۰۰۲ تا ۲۰۱۰ بررسی کردند. نتایج پژوهش آنها بیان می‌کند که منابع آب زیرزمینی در این محدوده با کاهش محسوس مواجه است که ماهواره GRACE این روند کاهشی را نشان می‌دهد در صورتی که مدل GLDAS قادر به نشان دادن این روند نیست [۱۷]. مطالعات گذشته توانایی ماهواره GRACE در برآورد تغییرات ذخیره آب در نقاط مختلف جهان و همچنین برتری آن را نسبت به مدل GLDAS نشان داده‌اند. در این مطالعه تلاش شده است روند تغییرات ذخیره آب و تغییرات سطح آب زیرزمینی در استان قزوین بررسی شود که با کاهش شدید منابع آب زیرزمینی مواجه است. بنابراین، هدف از این تحقیق محاسبه مقدار ذخیره آب و تغییرات سطح آب زیرزمینی توسط داده‌های ماهواره‌ای GRACE، برآورد مقدار ذخیره آب با استفاده از مدل GLDAS، مقایسه روند تغییرات ذخیره آب به دست آمده از مدل GRACE و ماهواره GLDAS و در نهایت اعتبارسنجی داده‌های تغییرات سطح آب زیرزمینی به دست آمده از ماهواره GRACE توسط داده‌های چاهه‌ای مشاهداتی در سطح استان قزوین است.

مواد و روش‌ها

استان قزوین با مساحتی معادل ۱۵۸۲۱ کیلومترمربع به ترتیب بین طول و عرض جغرافیایی ۴۸ درجه و ۵۳ دقیقه تا ۳۶ درجه و ۵۰ دقیقه در گوشه شمال غرب و ۵۰ درجه و ۳۵ دقیقه تا ۳۵ درجه و ۱۸ دقیقه در گوشه جنوب شرقی در حوزه مرکزی ایران واقع شده است. موقعیت استان در سطح کشور در شکل ۱ نشان داده شده است. میانگین بارش

روند تغییرات ذخیره آب را بهتر از مدل GLDAS نشان می‌دهد [۱۰]. مويوو و همکارانش (۲۰۱۲) با استفاده از داده‌های مدل GLDAS و معادله بیلان آب، مقدار ذخیره آب زیرزمینی را در منطقه شمال چین برای سال‌های ۲۰۰۲ تا ۲۰۰۹ به دست آوردند. علاوه بر این، با استفاده از ماهواره GRACE تغییرات ماهانه و سالانه ذخیره آب زیرزمینی را نیز محاسبه کردند. نتایج مقایسه این دو سری داده $R^2=0.65$ در مقیاس ماهانه و $R^2=0.8$ در تغییرات سالانه را نشان می‌دهد [۱۱]. فريرا و همکارانش (۲۰۱۳) مقدار کل تخلیه آب حوضه یانگ در کشور چین را با استفاده از داده‌های ماهواره TRMM، GRACE و مدل GLDAS در سال‌های ۲۰۰۳ تا ۲۰۰۹ برآورد کردند. نتایج تحقیقات این محققان نشان دهنده RMSE=۱۴/۳ میلی‌متر در ماه بین داده‌های ماهواره GRACE و داده‌های ایستگاهی است [۱۲]. لی و همکارانش (۲۰۱۴) پس از محاسبه بیلان آب در استان جیونجی در کره جنوبی، تغییرات ذخیره آب آن را با داده‌های مدل GLDAS و ماهواره GRACE مقایسه کردند. نتایج پژوهش آنها نشان می‌دهد در فصل‌هایی که مقدار بارش زیاد است، داده‌های GLDAS دقیق‌ترین نسبت به داده‌های GRACE دارند [۱۳]. چن و همکارانش (۲۰۱۶) با هدف یافتن روشی برای افزایش دقیق داده‌های GRACE، به بررسی داده‌های این ماهواره طی سال‌های ۲۰۱۲ تا ۲۰۱۳ پرداختند. در این تحقیق از داده‌های مرکز پردازش GFZ، CSR و JPL استفاده شده و داده‌های ماهواره GRACE با استفاده از فیلتر گاووسی ۳۰۰ کیلومتر اصلاح شده است. مقایسه تغییرات ذخیره آب داده‌های اصلاح شده و اصلاح نشده ماهواره GRACE نشان دهنده بهبود روند تغییرات در داده‌های اصلاح شده است [۱۴].

فرخنیا و مرید (۲۰۱۴) قابلیت داده‌های ماهواره‌های GRACE و مدل GLDAS در برآورد بیلان آب و تغییرات ذخیره آب زیرزمینی در حوضه آبریز دریاچه ارومیه را بحث و بررسی کردند. مقایسه مقداری برآورد شده تغییرات بیلان کل آب در حوضه توسط ماهواره GRACE و تغییرات مشاهداتی حجم آب دریاچه نشان دهنده وجود روند یکسان است. همچنین مقایسه روند تغییرات ذخیره آب به دست آمده از ماهواره GRACE و حجم آب دریاچه نشان دهنده مشابه روند سالانه سری‌های زمانی آنهاست؛ ولی در مقیاس ماهانه نوسانات تغییرات ذخیره آب GRACE بسیار شدیدتر از حجم

داده‌های بارش

در تحقیق حاضر از اطلاعات بارش ۱۳ ایستگاه سینوپتیک (شش ایستگاه در استان قزوین و هفت ایستگاه در استان‌های مجاور) استفاده شده است که اطلاعات‌شان در جدول ۱ مشاهده می‌شود. از داده‌های ایستگاه قزوین (یک دوره آماری ۵۵ ساله) برای تعیین سال‌های تر، نرمال و خشک و از اطلاعات سایر ایستگاهها به منظور تهیه نقشه مکانی تغییرات بارش با استفاده از روش کریجینگ استفاده شده است. در بین داده‌های ایستگاه‌های مدنظر، داده‌های سال ۲۰۰۳ ایستگاه‌های کوهین، بوین‌زهرا و تاکستان و همچنین داده‌های سال ۲۰۰۸ ایستگاه کوهین موجود نیستند.

در گام اول ۱۶ پیکسل در محدوده استان قزوین به گونه‌ای انتخاب شدند که از یک طرف کل محدوده استان قزوین را پوشش دهند و از طرفی دیگر دقیق نتایج زیاد شود. با توجه به اینکه پیکسل سایز داده‌های GRACE، 1×1 درجه است و همچنین با توجه به اینکه استان قزوین با مساحت ۱۵۸۲۱ کیلومترمربع تقریباً با یک پیکسل از ماهواره GRACE پوشش داده می‌شود، بنابراین با انتخاب ۱۶ پیکسل در محدوده استان قزوین دقیق نتایج افزایش یافت. موقعیت این پیکسل‌ها در شکل ۴ نشان داده شده است. از داده‌های ۱۶ پیکسل دریافتی از ماهواره GRACE، داده‌های ۳ پیکسل (طول و عرض جغرافیایی $51/5 - ۳۷/۵$ ، $۵۰/۵ - ۳۷/۵$ و $۴۹/۵ - ۳۷/۵$) به دلیل خطای ناشی از دریاچه خزر حذف شدند. با توجه به تحقیقات اشرفزاده و همکارانش ماهواره GRACE با استفاده از نوعی مدل جهانی اقیانوسی، قبل از محاسبه ضرایب استوکس، سهم ثقل اقیانوس‌ها و دریاها را از داده‌های GRACE حذف می‌کند؛ ولی دریاچه خزر شامل این مدل نیست. بنابراین، در این پژوهش سهم دریاچه خزر برای کاهش خطای ناشی از آن حذف شد [۱۷]. در گام بعدی نقشه‌های تغییرات ذخیره آب برای محدوده تحت پوشش ۱۳ پیکسل با استفاده از روش میان‌یابی کریجینگ^۴ برای ماهواره GRACE و مدل GLDAS تولید شدند. در نهایت، محدوده استان قزوین از نقشه‌های اصلی جدا شد تا به صورت مجزا بحث و بررسی شود.

سالانه در سطح استان از ۲۱۰ میلی‌متر در بخش‌های شرقی تا بیش از ۵۵۰ میلی‌متر در ارتفاعات شمال شرقی متغیر است. پرباران‌ترین نقاط استان دامنه‌های شمال شرقی منطقه الموت با بارشی بیش از ۵۵۰ میلی‌متر است که این شرایط بارشی کم و بیش در مناطق مرتفع شمالی شهرستان قزوین مشاهده می‌شود. علاوه بر این، در ارتفاعات جنوب غربی استان آوج نیز بارش سالانه بیش از ۴۵۰ میلی‌متر است. خشک‌ترین مناطق استان از سمت جنوب شرق استان و مناطق بیابانی بوین‌زهرا شروع و تا بخش‌های جنوبی شهرستان تاکستان امتداد می‌یابد. بارندگی سالانه در این مناطق در بازه ۲۱۰ تا ۲۳۰ میلی‌متر ثبت شده است. در شمال غرب استان روند کاهش بارش به واسطه کاهش ارتفاع مشهود است به طوری که با رسیدن به مناطق لوشان و منجیل در خارج استان میزان بارندگی به ۲۱۰ میلی‌متر می‌رسد. همچنین کمترین مقدار میانگین سالانه دما 2 درجه سانتی‌گراد و در قله‌های شمال شرقی مشاهده می‌شود و بیشترین میانگین سالانه دما 18 درجه سانتی‌گراد و در نقاط کم ارتفاع شمال غربی و پیرامون دریاچه سد سفیدرود ثبت شده است.

دریافت و پردازش داده‌ها

در این پژوهش برای بررسی روند تغییرات سطح آب زیرزمینی به دست آمده از ماهواره GRACE و مقایسه نتایج با داده‌های مشاهداتی، از داده‌های سطح 2 و نسخه 5 مرکز پردازش GFZ ماهواره GRACE و همچنین داده‌های بارش (kg/m^2)، رواناب سطحی و زیرسطحی (kg/m^2)، رطوبت خاک تا عمق 200 سانتی‌متر (kg/m^2) و آب معادل برف (kg/m^2) از مدل GLDAS طی ماه می 1 2003 تا دسامبر 2010 در دشت قزوین استفاده شد. طی 92 ماه داده‌های تغییرات ذخیره آب (سانتی‌متر) ماهواره GRACE در دشت قزوین، فقط داده‌های سه ماه موجود نبودند. همچنین برای بررسی روند تغییرات ذخیره آب ماهواره‌های GRACE و مقایسه آن با نتایج مدل GLDAS در استان قزوین، داده‌های تغییرات ذخیره آب ماهواره GRACE و مدل GLDAS برای دوره ژانویه 2003 تا دسامبر 2010 برای 16×1 پیکسل به صورت ماهانه از سایت سازمان ناسا دریافت شدند.

1. May

2. December

3. January

جدول ۱. مشخصات ایستگاه‌های سینوپتیک

نام ایستگاه	طول جغرافیایی UTM	عرض جغرافیایی UTM	نام ایستگاه	طول جغرافیایی UTM	عرض جغرافیایی UTM
قزوین	۴۰۰۱۰۲۲	۴۱۲۷۴۰/۸	خدابنده	۳۹۹۶۰۷۳	۲۶۱۳۷۷
آوج	۳۹۱۲۲۵۳	۳۳۰۰۵۸	زنجان	۴۰۳۰۵۶۸	۲۵۸۷۲۹/۵
بویین‌زهرا	۳۹۵۸۴۷۱	۴۱۵۶۳۲/۶	فروندگاه رشت	۴۱۱۷۱۹۴	۳۵۵۳۲۵/۴
تاکستان	۳۹۹۰۲۷۶	۳۸۲۹۰۵	بندر انزلی	۴۱۲۸۴۴۷	۳۴۶۳۵۱/۷
کوهین	۴۰۲۵۴۸۶	۳۷۷۳۹۴/۸	ساوه	۳۸۷۶۶۶۲	۴۲۷۰۲۴/۵
معلم کلایه	۴۰۱۴۱۲۹/۸	۴۳۶۲۲۷/۷	سیاه بیشه	۴۰۱۱۷۱۹	۵۲۶۹۵۲/۷
کرج	۳۹۲۶۳۶۰	۴۶۰۹۹۲/۲			

داده‌های ماهواره‌های GLDAS و مدل GRACE

($\overline{\Delta\sigma}$) برای درجه و مرتبه تا ۶۰ با استفاده از معادله ۱ برآورد شد.

$$\overline{\Delta\sigma}(\theta, \phi) = \frac{a\rho_{ave}}{3\rho_w} \sum_{l,m} \frac{2l+1}{1+k_l} w_l \tilde{p}_{lm} (\cos\theta) [\Delta C_{lm} \cos(m\phi) + \Delta S_{lm} \sin(m\phi)] \quad (1)$$

$$w_l = 1, \quad w_l = \frac{1+e^{-rb}}{1-e^{-rb}} - \frac{1}{b}, \quad w_{l+1} = -\frac{2l+1}{b} w_l + w_{l-1} \quad (2)$$

$$b = \frac{\ln r}{1 - \cos\left(\frac{r}{a}\right)}$$

که در آن، r ، شعاع میانگین‌گیری و a شعاع استوایی زمین است. در این پژوهش بعد از بررسی مقادیر مختلف برای پارامتر r مقدار ۵۵۰ کیلومتر انتخاب شد.

داده‌های ماهواره GRACE و داده‌های مشاهداتی چاه‌ها برای بررسی صحت داده‌های ماهواره GRACE از داده‌های ۱۶ چاه مشاهداتی در دشت قزوین و مجموع ۲۴ چاه مشاهداتی در استان‌های همدان و زنجان استفاده شد. داده‌های GRACE قدرت تفکیک مکانی ۱ درجه دارند، بنابراین یک پیکسل به مختصات مرکز عرض جغرافیایی ۳۶ و طول جغرافیایی ۵۰ درجه، تقریباً کل محدوده دشت قزوین را پوشش می‌دهد. همچنین برای افزایش دقیقت نتایج از دو پیکسل دیگر که محدوده استان‌های همدان و زنجان را پوشش می‌دهند به مختصات مرکز عرض جغرافیایی و طول جغرافیایی ۴۸/۵ - ۳۵/۵ و ۴۸/۵ - ۳۶/۵ درجه استفاده شد. موقعیت چاه‌ها در شکل ۱ مشخص شده است. میانگین داده‌های ۱۶ چاه برای ۸۸ ماه در دشت قزوین، داده‌های ۱۲ چاه در استان‌های زنجان و همدان برای ۴۵ ماه با داده‌های ۳ پیکسل از ماهواره GRACE مقایسه شدند. برای اعتبارسنجی داده‌های

به منظور آنالیز داده‌های ماهواره GRACE و تفکیک داده‌ها برای منطقه مطالعه شده با استفاده از روش وار (۱۹۹۸ و ۲۰۰۷)، تغییرات ستون ذخیره آب نرم‌شده

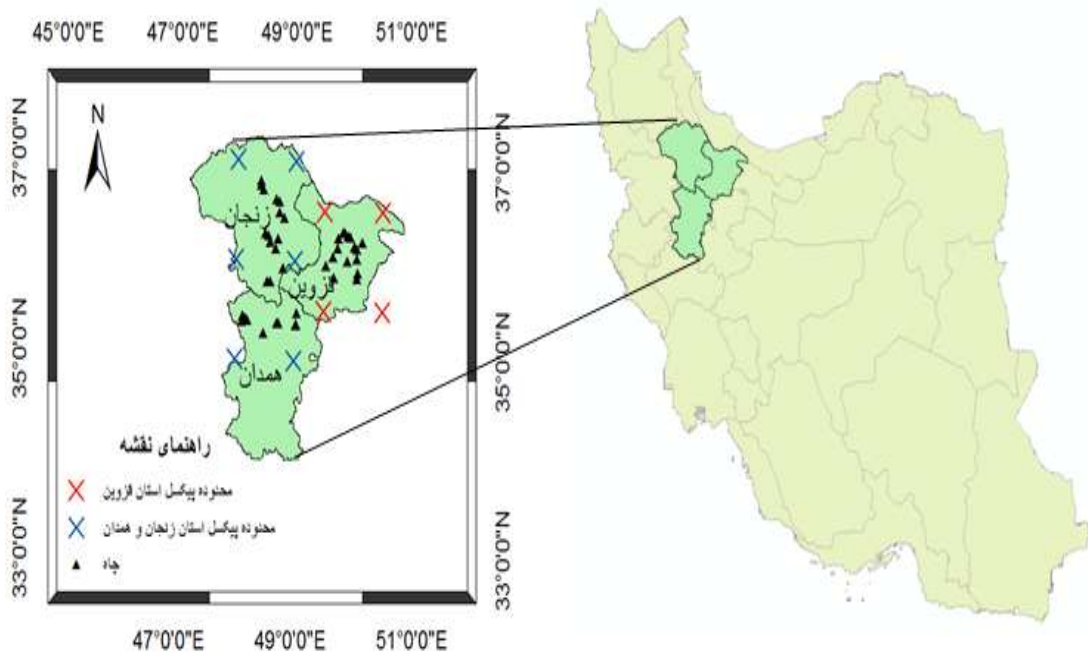
در معادله یادشده، (θ, ϕ): به ترتیب متمم عرض جغرافیایی و طول جغرافیایی، $a = ۶۳۸۰ km$: شعاع کره زمین، $\rho_{ave} = ۵۵۱۷ kg/m^3$: میانگین دانسیتی زمین، $\Delta C_{lm} = ۱۰۰۰ kg/m^3$: دانسیتی آب، k_l : عدد لاو از درجه l و ΔS_{lm} : تغییرات ماهانه ضرایب هارمونیک کروی از درجه l و مرتبه m : توابع نرمالیزه لزاندر و w_l : ضرایب وزن فیلتر گاوی.

فیلتر گاوی

با توجه به اینکه خطاهای موجود در داده‌های GRACE افزایش درجه و مرتبه، به سرعت افزایش می‌یابند و استفاده مستقیم از آنها در مناطق کوچک و در کاربردهایی مثل زیر نظر گرفتن چرخه هیدرولوژیکی که به دقت بیشتری در برآورد کردن سیگنال‌های مدنظر نیاز دارد، به تولید نتایج غیرواقعی از تغییرات کلی سطح آب در منطقه بررسی شده منجر می‌شود. به همین دلیل، ضرورت استفاده از فیلترها با هدف کاهش سهم ضرایب با درجات بیشتر در محاسبات که خود موجب کاهش خطاهای مدل و رسیدن به نتایج دقیق‌تر می‌شود، از سوی جکلی (۱۹۸۱) مطرح شد [۱۸]. ضرایب فیلتر گاوی با یک رابطه بازگشتی از سری معادلات ۲ محاسبه می‌شود.

قزوین بین دو پیکسل 1×1 درجه قرار می‌گیرد. بنابراین، نمی‌توان دشت قزوین را در مرکز یک پیکسل از مدل GLDAS در نظر گرفت و بهمین دلیل از این بخش از داده‌ای مدل GLDAS صرف نظر شده است.

پیکسل‌هایی از ماهواره GRACE استفاده شد که استان‌های زنجان و همدان را پوشش می‌دهند. با توجه به اینکه محصول ذخیره آب مدل GLDAS برای طول جغرافیایی $0^{\circ}/5$ تا $35^{\circ}/5$ و عرض جغرافیایی $-8^{\circ}/5$ تا $8^{\circ}/5$ به صورت ۱ درجه در دسترس است و محدوده دشت

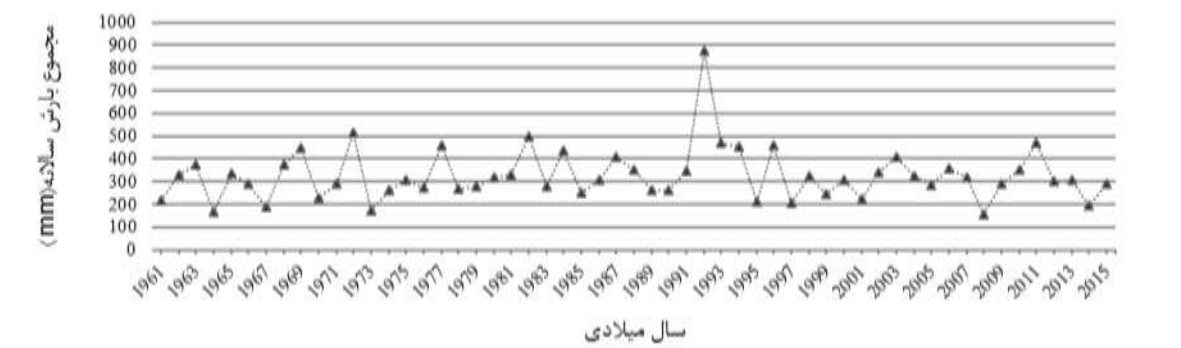


شکل ۱. موقعیت منطقه در سطح کشور و موقعیت چاه‌های مطالعه شده در ۳ پیکسل

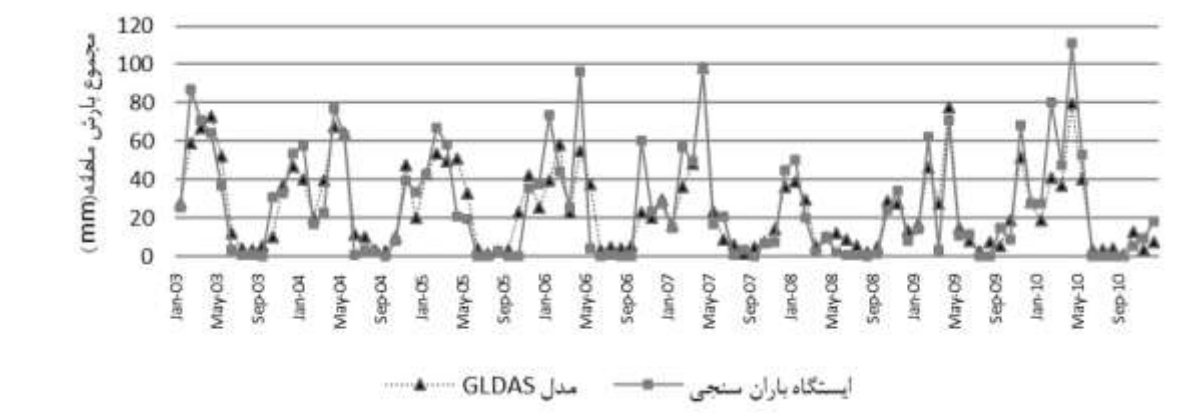
میانگین مقدار بارش طی سال‌های مطالعه شده $310/63$ میلی‌متر است. در شکل ۲ روند تغییرات مجموع بارش سالانه طی دوره سال‌های 1961 تا 2015 در شکل ۳ روند تغییرات مجموع بارش ماهانه در دوره مطالعه شده (2003 تا 2010) و در شکل‌های $5-7$ نیز نتایج بررسی تغییرات مکانی بارش با استفاده از روش کریجینگ در سطح استان نشان داده شده است. با استفاده از نرم‌افزار SPSS مقدار همبستگی بین داده‌های بارش ماهانه مدل GLDAS و ایستگاه باران‌سنجی قزوین طی 96 ماه توسط روش پیرسون $1/889$ است و همبستگی بین این دو سری داده در سطح احتمال 99 درصد معنادار است.

نتایج و بحث

بررسی تغییرات مکانی و زمانی بارش با محاسبه مقدار شاخص ZSI (Z-SCORE) برای 55 سال از داده‌های بارش ایستگاه هواشناسی موجود در منطقه مطالعه شده طی سال‌های 2003 تا 2010 ، سال‌های 2003 ، 2008 و 2010 به ترتیب به عنوان سال‌های نسبتاً مرطوب، نسبتاً خشک و نرمال انتخاب شدند. برای محاسبه شاخص ZSI از نرم‌افزار DIP استفاده شد [۱۹]. نتایج برای کل دوره 55 ساله در جدول ۲ نشان داده شده است. طی سال‌های مطالعه شده، سال 3 با مقدار بارش $405/68$ میلی‌متر به عنوان پربارش‌ترین و سال 8 با مقدار بارش $154/17$ میلی‌متر به عنوان کم‌بارش‌ترین سال ثبت شده‌اند. شایان یادآوری است که سال 2008 طی 55 سال بررسی شده نیز کمترین مقدار بارش را داشته است و

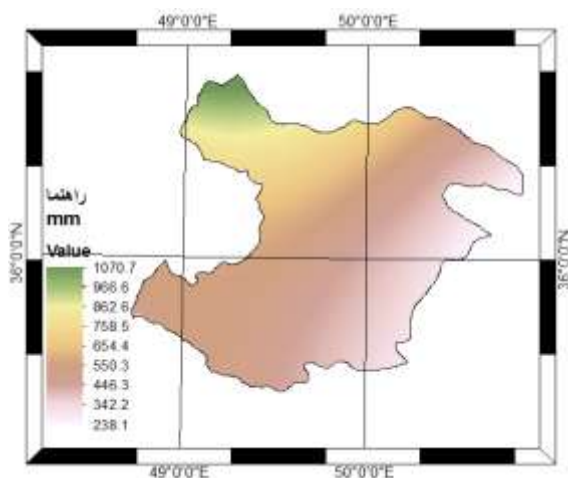


شکل ۲. روند تغییرات مجموع بارش سالانه در استان قزوین (mm)

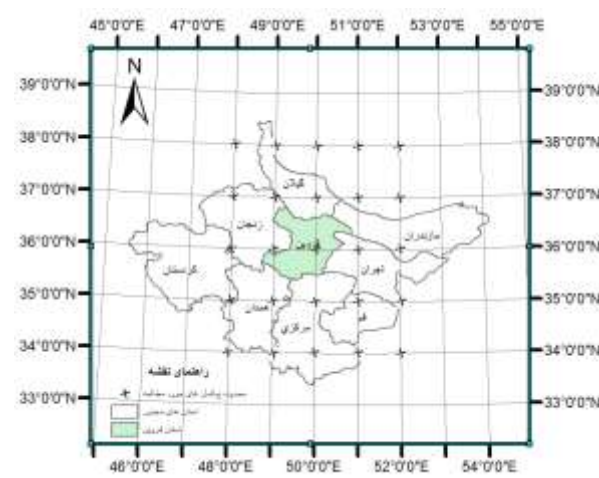


شکل ۳. روند تغییرات مجموع بارش ماهانه طی سال‌های ۲۰۰۳ تا ۲۰۱۰ در استان قزوین

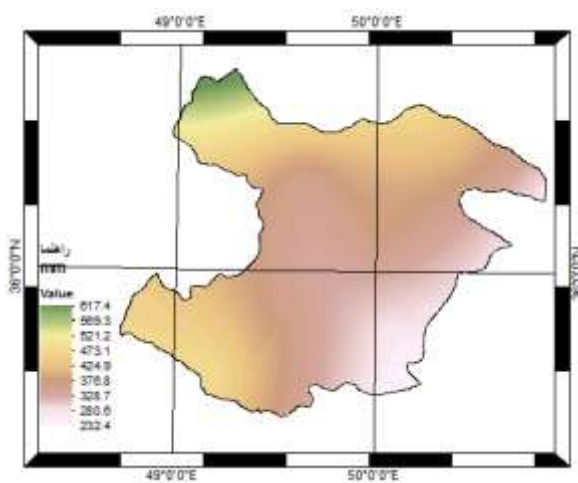
جدول ۲. نتایج پایش خشکسالی براساس شاخص ZSI در استان قزوین



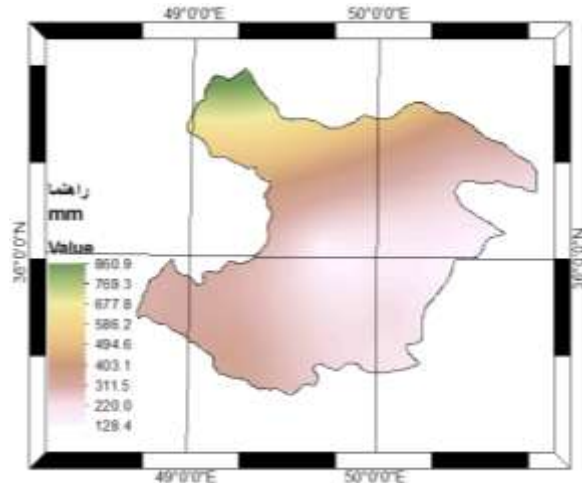
شکل ۵. تغییرات مکانی مجموع بارش سالانه مربوط به سال ۲۰۰۳ در ۱۰ ایستگاه



شکل ۶. محدوده ۱۶ پیکسل مطالعه شده



شکل ۷. تغییرات مکانی مجموع بارش سالانه مربوط به سال ۲۰۱۰ در ۱۳ ایستگاه



شکل ۸. تغییرات مکانی مجموع بارش سالانه مربوط به سال ۲۰۰۸ در ۱۲ ایستگاه

که در آنها: C_i ، مقدار محاسبه شده، M_i مقدار مشاهده شده، M میانگین حسابی داده های مشاهده شده و n تعداد داده هاست. در شرایطی که MAE و $RMSE$ برابر صفر و با نزدیک به صفر باشند نشان دهنده این است که روش استفاده شده دقت زیادی دارد و با فاصله یافتن از صفر، دقت روش مد نظر کاهش می یابد [۲۰]. نتایج آنالیز آماری انجام شده بر یافته های این پژوهش در جدول ۳ نشان داده شده است.

شاخص های تحلیل آماری شاخص های کمی که به منظور ارزیابی نتایج استفاده شده اند عبارت اند از: ریشه میانگین مربعات خطأ ($RMSE$)، میانگین خطای اریبی (MBE) و میانگین مطلق خطأ (MAE) که به صورت زیر تعریف می شوند:

$$RMSE = \sqrt{\frac{\sum (C_i - M)^2}{n}} \quad (3)$$

$$MBE = \frac{\sum (C_i - M_i)}{n} \quad (4)$$

$$MAE = \frac{\sum |C_i - M_i|}{n} \quad (5)$$

جدول ۳. آنالیز آماری داده‌های تغییرات ذخیره آب و تغییرات سطح آب زیرزمینی بر حسب سانتی‌متر

	RMSE	MBE	MAE
تغییرات ذخیره آب (ماهانه) GLDAS-GRACE	۲/۹۴	+۰/۱۸	۴/۳۲
تغییرات سطح آب زیرزمینی (فصلی) دشت قزوین-GRACE-چاهها	۵/۵۴	+۱/۵	۴/۱۶
تغییرات سطح آب زیرزمینی (فصلی) (استان زنجان-GRACE-چاهها)	۳/۸۴	-۰/۴۳	۲/۲
تغییرات سطح آب زیرزمینی (فصلی) (استان زنجان و همدان-GRACE-چاهها)	۳/۸۶	-۰/۹۶	۱/۷۲

ذخیره آب مدل GLDAS و ماهواره GRACE بیانگر ضریب همبستگی ۰/۲۹ و ۰/۲۱ است و همبستگی بین این دو سری داده در سطح ۹۹ درصد معنادار است. مویو و همکارانش (۲۰۱۲) در تحلیل آماری که بین داده‌های تغییرات ذخیره آب به دست آمده از ماهواره GRACE و مقدار محاسبه شده با استفاده از بیلان آب داده‌های تبخیر-تعرق اصلاح شده، بارش و رواناب مدل GLDAS انجام داده‌اند، ریشه میانگین مربعات خطای بین این دو سری داده را مقدار ۰/۲۶۷ میلی‌متر در مقیاس ماهانه به دست آورند.

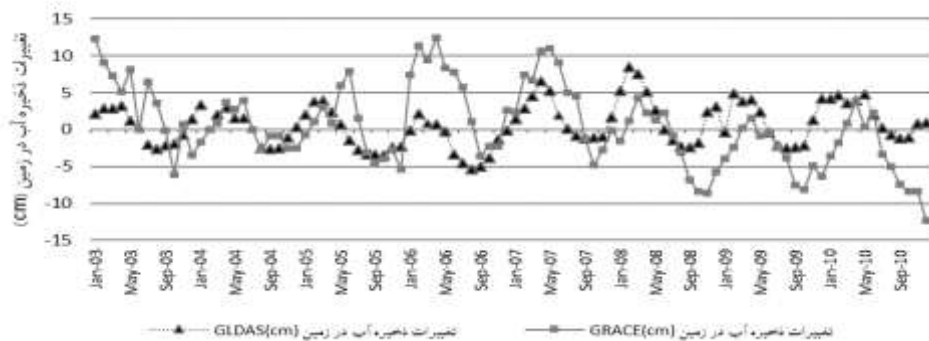
مقایسه تغییرات مکانی تغییرات ذخیره آب و GRACE و GLDAS
بررسی تغییرات مکانی داده‌های تغییرات ذخیره آب به دست آمده از ماهواره GRACE و مدل GLDAS می‌تواند درک پهلوی از این مجموعه داده‌ها در اختیار ما قرار دهد. بدین منظور نقشه‌های تغییرات سالانه تغییرات ذخیره آب (cm) ماهواره GRACE و مدل GLDAS برای سال‌های ۲۰۰۳، ۲۰۰۸ و ۲۰۱۰ با استفاده از نرم‌افزار Arc Map تولید شدند. همان طور که در شکل‌های ۹ تا ۱۴ مشاهده می‌شود در سال‌های ۲۰۰۸ و ۲۰۱۰ که براساس شاخص ZSI به ترتیب به عنوان سال‌های خشک و نرمال بررسی شده‌اند، روند تغییرات مکانی ذخیره آب ماهواره GRACE و مدل GLDAS تقریباً عکس یکدیگر است. در صورتی که در سال ۲۰۰۳ (سال نسبتاً تر) روند تغییرات مکانی تغییرات ذخیره آب ماهواره GRACE و مدل GLDAS تقریباً یکسان است. با توجه به گزارش شرکت آب منطقه‌ای استان قزوین از سال ۱۳۸۵ (۲۰۰۶ میلادی) و پس از آن، در دشت قزوین تقدیمه مصنوعی انجام شده است که مقدار آن از ۳۱/۸ میلیون مترمکعب در سال ۱۳۸۵ تا ۲۶/۲۳ میلیون مترمکعب در سال

مقایسه روند تغییرات ذخیره آب و GLDAS مدل GLDAS یکی از مدل‌هایی است که معمولاً برای مقایسه با نتایج ماهواره GRACE انتخاب می‌شود [۱۱، ۱۲، ۱۳]. بنابراین، در این بخش به مقایسه نتایج میانگین تغییرات ذخیره آب ماهواره GRACE برای ۱۶ پیکسل (شکل ۴) یادشده با نتایج به دست آمده از مدل GLDAS پرداخته شد. همان طور که در شکل ۸ مشاهده می‌شود تغییرات پریودیک سالیانه به خوبی در سری زمانی مدل GLDAS و ماهواره GRACE وجود دارد. همچنین ماهواره GRACE از یک روند کاهشی تبعیت می‌کند، ولی این مورد در روند تغییرات ذخیره آب مدل GLDAS دیده نمی‌شود. با توجه به خشکسالی‌های اخیر وجود یک روند کاهشی در تغییرات ذخیره آب محتمل است. احتمالاً دلیل اصلی اینکه این روند کاهشی در مدل GLDAS مشاهده نمی‌شود، ناتوانی مدل GLDAS در برآورد شرایط واقعی موجود در سطح زمین است. در واقع محصول ذخیره آب مدل GLDAS فقط حاصل جمع محصولات رطوبت خاک، رواناب و ذخیره برف مدل GLDAS است. در تحقیقی که توسط شریفی و همکارانش در سال ۱۳۹۳ انجام شده است علت اصلی نبود تغییرات آب‌های زیرزمینی در سیگنال‌های به دست آمده از مدل GLDAS (۲۰۱۵) بیان شده است. اشرافزاده و همکارانش نیز به نتایج مشابهی دست یافته‌اند. با توجه به جدول ۳ در داده‌های GLDAS نسبت به داده‌های GRACE به مقدار ۰/۱۸ سانتی‌متر بیش برآورد مشاهده می‌شود. همچنین ریشه میانگین مربعات خطای بین این دو سری داده مقدار ۲/۹۲ سانتی‌متر در مقیاس ماهانه برآورد شده است. نتایج بررسی همبستگی به روش پیرسون و کندال^۱ بین داده‌های تغییرات

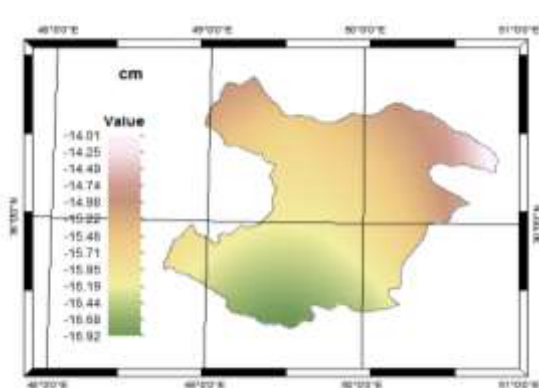
1. Kendall

تطابق نداشتن نقشه‌های سال‌های ۲۰۰۸ و ۲۰۱۰ مدل GRACE با ماهواره GLDAS و همچنین تطابق این نقشه‌ها در سال ۲۰۰۳ قابل توجیه است.

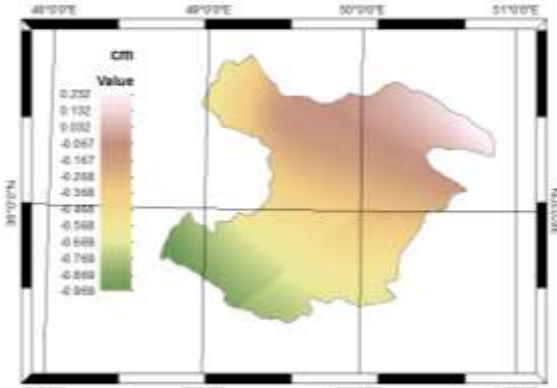
۱۳۸۹ (سال ۲۰۱۰ میلادی) متغیر بوده است. با توجه به اینکه مدل GLDAS قادر نیست آب تغذیه شده به زمین یا حتی آبیاری انجام شده را شبیه‌سازی کند [۲۱]، در نتیجه



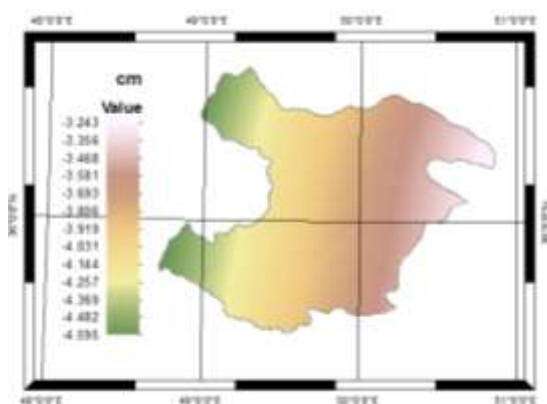
شکل ۸. مقایسه روند تغییرات ذخیره آب برآورد شده توسط ماهواره GRACE و مدل GLDAS برای سال‌های ۲۰۰۳ تا ۲۰۱۰ در استان قزوین



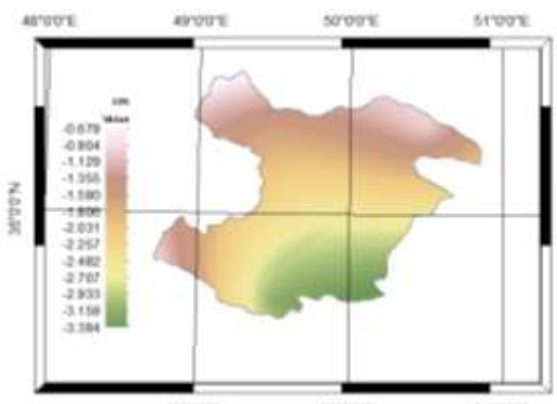
شکل ۱۰. تغییرات ذخیره آب به دست آمده از ماهواره GRACE در سال ۲۰۰۳



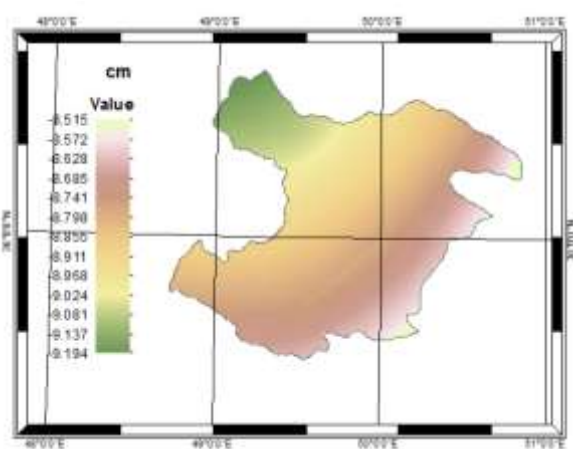
شکل ۹. تغییرات ذخیره آب در زمین به دست آمده از مدل GLDAS در سال ۲۰۰۳



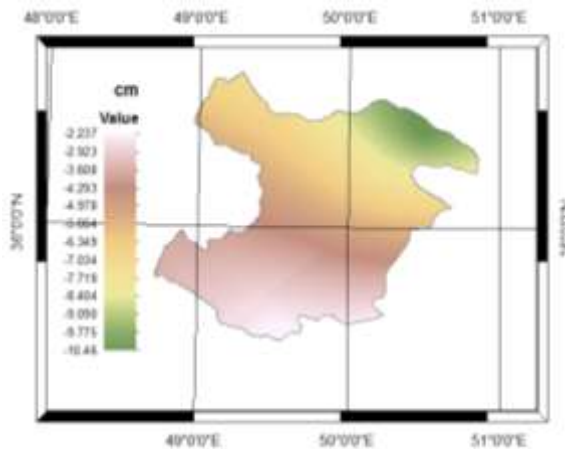
شکل ۱۲. تغییرات ذخیره آب در زمین به دست آمده از ماهواره GRACE در سال ۲۰۰۸



شکل ۱۱. تغییرات ذخیره آب در زمین به دست آمده از مدل GLDAS در سال ۲۰۰۸



شکل ۱۴. تغییرات ذخیره آب حاصل از ماهواره GRACE در سال ۲۰۱۰



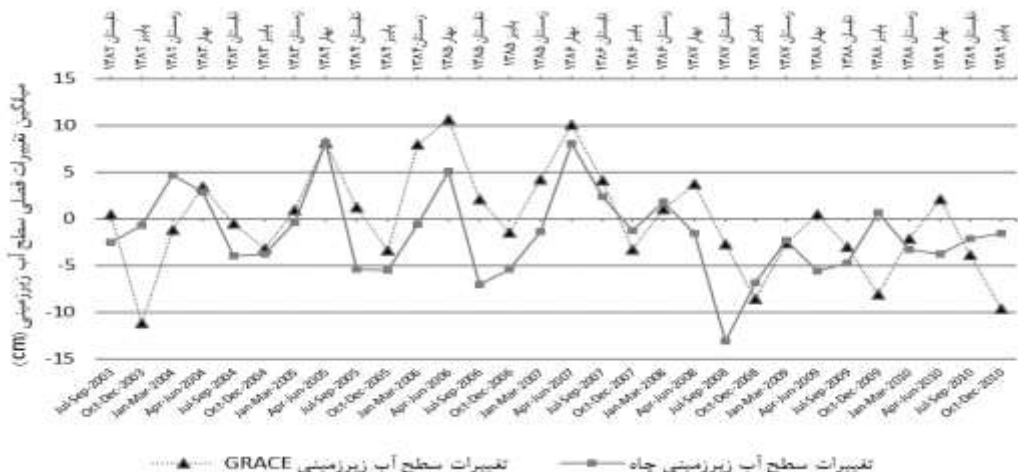
شکل ۱۳. تغییرات ذخیره آب در زمین حاصل از مدل GLDAS در سال ۲۰۱۰

شدیدی مشاهده می‌شود. با توجه به اینکه داده‌های سه‌ماهه از ماهواره GRACE برای سال‌های ۲۰۰۳ و ۲۰۰۴ در پایگاه داده سازمان ناسا موجود نبودند، بنابراین ممکن است خطای ایجادشده ناشی از نبود داده در این سه ماه باشد. طی سال‌های ۲۰۰۵ تا ۲۰۰۸ روند تغییرات داده‌های GRACE و چاههای مشاهداتی تقریباً مشابه یکدیگرند؛ ولی از سال ۲۰۰۸ که مصادف با دوره خشکسالی در این استان است، یک تأخیر زمانی در داده‌ها مشاهده می‌شود. ممکن است این تأخیر زمانی به علت تغذیه مصنوعی انجام شده در دشت قزوین در دوره مد نظر بوجود آمده باشد. نتایج تحلیل آماری داده‌های ماهواره GRACE و داده‌های چاههای مشاهداتی نشان‌دهنده MBE=۱/۵، MAE=۴/۱۶، RMSE=۵/۵۴ سانتی‌متر در مقیاس فصلی است (جدول ۳). مثبت‌بودن مقدار MBE نشان‌دهنده بیش‌برآورده در مقدار تغییرات سطح آب زیرزمینی به دست‌آمده از ماهواره GRACE نسبت به داده‌های مشاهداتی است. نتایج بررسی همبستگی به روش پرسون بین داده‌های تغییرات ذخیره آب به دست‌آمده از ماهواره GRACE و داده‌های مشاهداتی بیان کننده ضریب همبستگی ۰/۴۸۸ است و همبستگی بین این دو سری داده در سطح ۹۹ درصد معنادار است. با توجه به اینکه داده کافی برای تهیه نقشه تغییرات مکانی سطح آب زیرزمینی چاههای مشاهداتی در منطقه مطالعه شده موجود نبود و همچنین با توجه به این نکته که

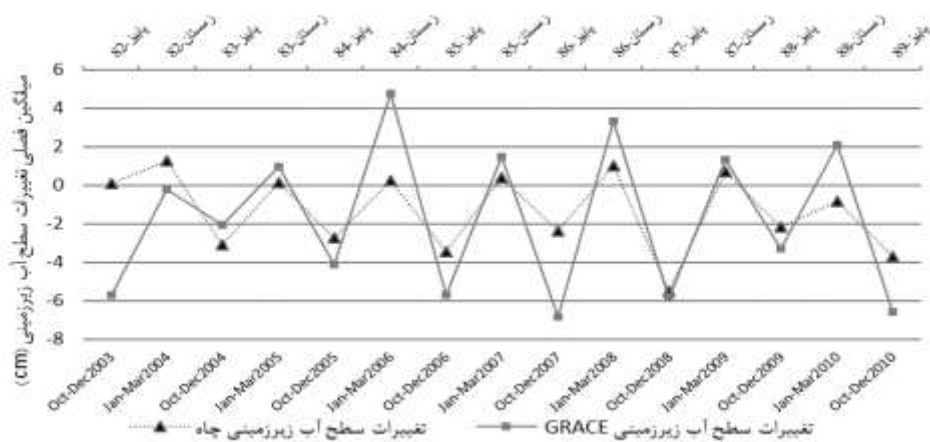
مقایسه تغییرات سطح آب زیرزمینی به دست‌آمده از ماهواره GRACE و داده‌های مشاهداتی اگرچه دانش سنجش از دور به سرعت رو به رشد است، استفاده از داده‌هایی که با استفاده از روش‌های مختلف سنجش از دور به دست می‌آیند بدون مقایسه و صحت‌سنجی با داده‌های مشاهداتی قبل از استفاده نخواهند بود. بنابراین، در این بخش به مقایسه روند تغییرات سطح آب زیرزمینی چاههای مشاهداتی و تغییرات سطح آب زیرزمینی برآورده توسط ماهواره GRACE پرداخته می‌شود. با درنظر گرفتن این نکته که در ماهواره GRACE مقدار کل تغییرات ذخیره آب شامل مجموع آب زیرزمینی، رطوبت خاک، آب معادل ذوب برف و آب سطحی است، در نتیجه برای تبدیل مقدار تغییرات ذخیره آب به تغییرات سطح آب زیرزمینی نیاز به کسر مجموع مقدار رطوبت خاک، آب معادل برف و آب سطحی از مقادیر تغییرات ذخیره آب به دست‌آمده از ماهواره GRACE است. در این پژوهش برای محاسبه مقدار رطوبت خاک، آب معادل برف و آب سطحی از داده‌های ماهانه با قدرت تفکیک مکانی ۱ درجه مدل GLDAS استفاده شد. روند تغییرات فصلی سطح آب زیرزمینی چاههای مشاهداتی و ماهواره GRACE برای دوره جولای^۱ ۲۰۰۳ تا دسامبر ۲۰۱۰ در شکل ۱۵ نشان داده شده است. طی سال‌های ۲۰۰۳ و ۲۰۰۴ در روند تغییرات داده‌های ماهواره GRACE کاهش

GRACE، در درجه و مرتبه‌های بالا باشد. در نتیجه احتمالاً استفاده از فیلتر گاوی بهنهایی برای حذف خطاهای ماهواره GRACE نیست. همان طور که نتایج آنالیز آماری نشان می‌دهد (جدول ۳)، ماهواره GRACE کم‌برآورده بمقدار -0.43 ± 0.96 سانتی‌متر در برآورد مقدار تغییرات سطح آب زیرزمینی نسبت به داده‌های مشاهداتی دارد. نتایج بررسی همبستگی به روش پیرسون بین داده‌های تغییرات ذخیره آب به دست‌آمده از مدل GLDAS و ماهواره GRACE بیان کننده ضریب همبستگی 0.748 ± 0.849 به ترتیب برای استان‌های زنجان و همدان-زنجان است و همبستگی بین این دو سری داده در سطح ۹۹ درصد معنادار است.

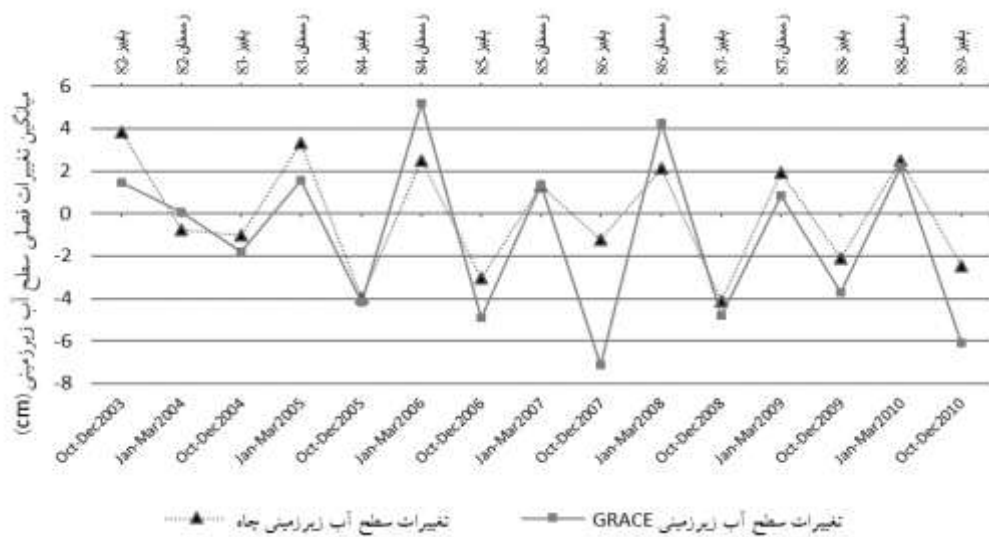
با بررسی روند تغییرات سطح آب زیرزمینی فقط در یک پیکسل، دقیق داده‌های ماهواره GRACE مشخص نمی‌شود. بنابراین، تغییرات سطح آب زیرزمینی GRACE و چاههای مشاهداتی برای دو استان هم‌مرز با استان قزوین در مقیاس فصلی (پاییز و زمستان) بررسی شد که نتایج آن در شکل‌های ۱۶ و ۱۷ مشاهده می‌شود. در هر دو شکل روند تغییرات پریودیک سطح آب زیرزمینی و افزایش سطح آب در فصل زمستان نسبت به پاییز کاملاً مشهود است. در هر دو نمونه روند تغییرات سطح آب زیرزمینی یکسان است با این تفاوت که ماهواره GRACE روند این تغییرات را شدیدتر نشان می‌دهد. ممکن است تغییرات شدیدی که در روند تغییرات ماهواره GRACE مشاهده می‌شود به دلیل خطاهای موجود در داده‌های



شکل ۱۵. روند میانگین تغییرات فصلی سطح آب زیرزمینی (cm) در دشت قزوین



شکل ۱۶. روند میانگین تغییرات فصلی (پاییز و زمستان) سطح آب زیرزمینی (cm) در استان زنجان



شکل ۱۷. روند میانگین تغییرات فصلی سطح آب زیرزمینی (cm) در استان زنجان و همدان

(GRACE) and an empirical climate model. Water Resources Research. 2011b; 47: W07521. DOI: 10.1029/2010WR010157

- [2].Moiwo JP, Yang Y, Li H, Han S, Hu Y. Comparison of GRACE with in situ hydrological measurement data shows storage depletion in Hai River basin, Northern China. Water SA. 2009; 35: 663–670.
- [3].Sean Swenson, Pat J.-F. Yeh, John Wahr, and James Famiglietti. A comparison of terrestrial water storage variations from GRACE with in situ measurements from Illinois". GEOPHYSICAL RESEARCH LETTERS.2006; VOL. 33, L16401, doi: 10.1029/2006GL026962.
- [4].Wahr J, Swenson SC, Zlotnicki V, Velicogna I. 2004. Time-variable gravity from GRACE: first results. Geophysical Research Letters 31:L11501. DOI: 10.1029/2004GL019779
- [5].Rodell M, Houser P. R, Jambor U, Gottschalck J, Mitchell K, Meng C, et al. The Global Land Data Assimilation System. Bulletin of the American Meteorological Society.2004;85(3): 381-394.
- [6].Chen JL, Wilson CR, Tapley BD, Yang ZL, Niu GY. drought event in the Amazon River basin as measured by GRACE and estimated by climate models. Journal of Geophysical Research. 2009; 114: B05404. DOI: 10.1029/2008JB006056
- [7].Lemoine J-M, Bruinsma S, Loyer S, Biancale R, Marty J-C, Perosanz F, Balmino G. Temporal gravity field models inferred from GRACE data. Advances in Space Research.2007; 39: 1620–1629.

نتیجه‌گیری

مقایسه روند تغییرات زمانی داده‌های تغییرات ذخیره آب به دست‌آمده از ماهواره GRACE و مدل GLDAS همچنین مقایسه تغییرات مکانی آنها (شکل‌های ۹ تا ۱۴) نشان می‌دهد که ماهواره GRACE در تخمین روند تغییرات زمانی و مکانی تغییرات ذخیره آب در خاک بهتر از مدل GLDAS عمل می‌کند. نکته بسیار مهمی که در داده‌های تغییرات ذخیره آب مدل GLDAS وجود دارد، ناتوانی این مدل در شبیه‌سازی اثر تغذیه مصنوعی و آبیاری انجام‌شده روی زمین است، که این مورد ضعف مهمی برای داده‌های این مدل بالرزش محسوب می‌شود. همان طور که مشاهده شد، روند تغییرات سطح آب زیرزمینی به دست‌آمده از GRACE با روند تغییرات سطح آب زیرزمینی چاه‌های مشاهداتی همخوانی دارد؛ ولی در داده‌های GRACE نسبت به داده‌های مشاهداتی در استان قزوین بیش برآورد و در استان‌های زنجان و همدان کمی برآورد مشاهده می‌شود. در مجموع، نتایج به دست‌آمده از این پژوهش نشان دهنده قابلیت مناسب داده‌های ماهواره GRACE در برآورد سریع و کم‌هزینه تغییرات سطح آب زیرزمینی به‌ویژه در مناطق غیرقابل دسترس است.

منابع

- [1].Moiwo JP, Yang Y, Tao F, Lu W, Han S. Water storage change in the Himalayas from the Gravity Recovery and Climate Experiment

- [8].Zaitchik BF, Rodell M, Reichle RH. Assimilation of GRACE terrestrial water storage data into a land surface model: results for the Mississippi river basin. *Journal of Hydrometeorology*.2008; 9: 535–548
- [9].Ramillien G, Famiglietti JS, Wahr J. Detection of continental hydrology and glaciology signals from GRACE: a review. *Surveys in Geophysics*. 2008;29: 361–374. DOI: 10.1007/s10712-008-9048-9.
- [10]. Longuevergne L, Scanlon BR, Wilson CR. GRACE hydrological estimates for small basins: evaluating processing approaches on the High Plains Aquifer, USA. *Water Resources Research*.2010;46: W11517.DOI: 10.1029/2009WR008564.
- [11]. Moiwo JP, Yang Y, Tao F, Lu W. Analysis of satellite-based and in situ hydro-climatic data depicts water storage depletion in North China Region. *Hydrological Processes*.2012; DOI: 10.1002/hyp.9276
- [12]. Ferreira, V., Z. Gong, X. He, Y. Zhang. "Estimating Total Discharge in the Yangtze River Basin Using Satellite-Based Observations." *Remote Sensing*.2013; 5(7): 3415-3430.
- [13]. Lee S, Seo J, Lee SK. Validation of Terrestrial Water Storage Change Estimates Using Hydrologic Simulation. *Journal of Water Resources and Ocean Science*. 2014;3(1): 5-9.
- [14]. Chen Q, Shen Y, Chen W, Zhang X, Hsu H. An improved GRACE monthly gravity field solution by modeling the non-conservative acceleration and attitude observation errors. Springer-Verlag Berlin Heidelberg.2016; 90:503–523.
- [15]. Farokhnia A,Morid S. Assessmentof GRACE and GLDAS capabilities forestimationofwater. *Iran-Water Resources Research*.2014;10(1):52-61. (In Persian)
- [16]. Sharifi M.A, Akhoondzadeh M, Shahrisvand M, Sanatgar M.Drought monitoring in Iran by GRACE satellite data and GLDAS hydrologic model.*Proceedings of the Sixteenth Conference of Iran Geophysics*.2014;35-39.(In Persian)
- [17]. Ashrafzade A, Judaki GH, SHarifi M. Iran's groundwater resources assessment using data from the GRACE satellite gravity survey. *Journal of Research Science and Technology Mapping*.2015;5(4):73-84. (In Persian)
- [18]. Sharifi1M.A, NajafiAlamdar, Mokhtari,E.A comparison of Gaussian and Wiener filters to suppress GRACE data errors.*Journal of Geophysics of IRAN*. 2011;5(4):57-73. (In Persian)
- [19]. Broqhani M, Moradi H.R, Zangane M.A. Zoning and determine the best indicator of drought in Khorasan Razavi. *Geographical Studies of Arid Zones*.2015; 5(16):70-84. (In Persian)
- [20]. SokutiOskooi, R. Mahdian, M. MahmoudI, Sh .Compared the performance of some geostatistical methods to predict the spatial distribution of soil salinity, Urmia plain case study. *Journal of Research and Construction*. 2007; No. 74. (In Persian)
- [21]. Gao, Y., Long, D., Li, Z. Estimation of daily evapotranspiration from remotely sensed data under complex terrain over the upper Chao river basin in north China. *International Journal of Remote Sensing*.2008; 29(11):3295-3315.